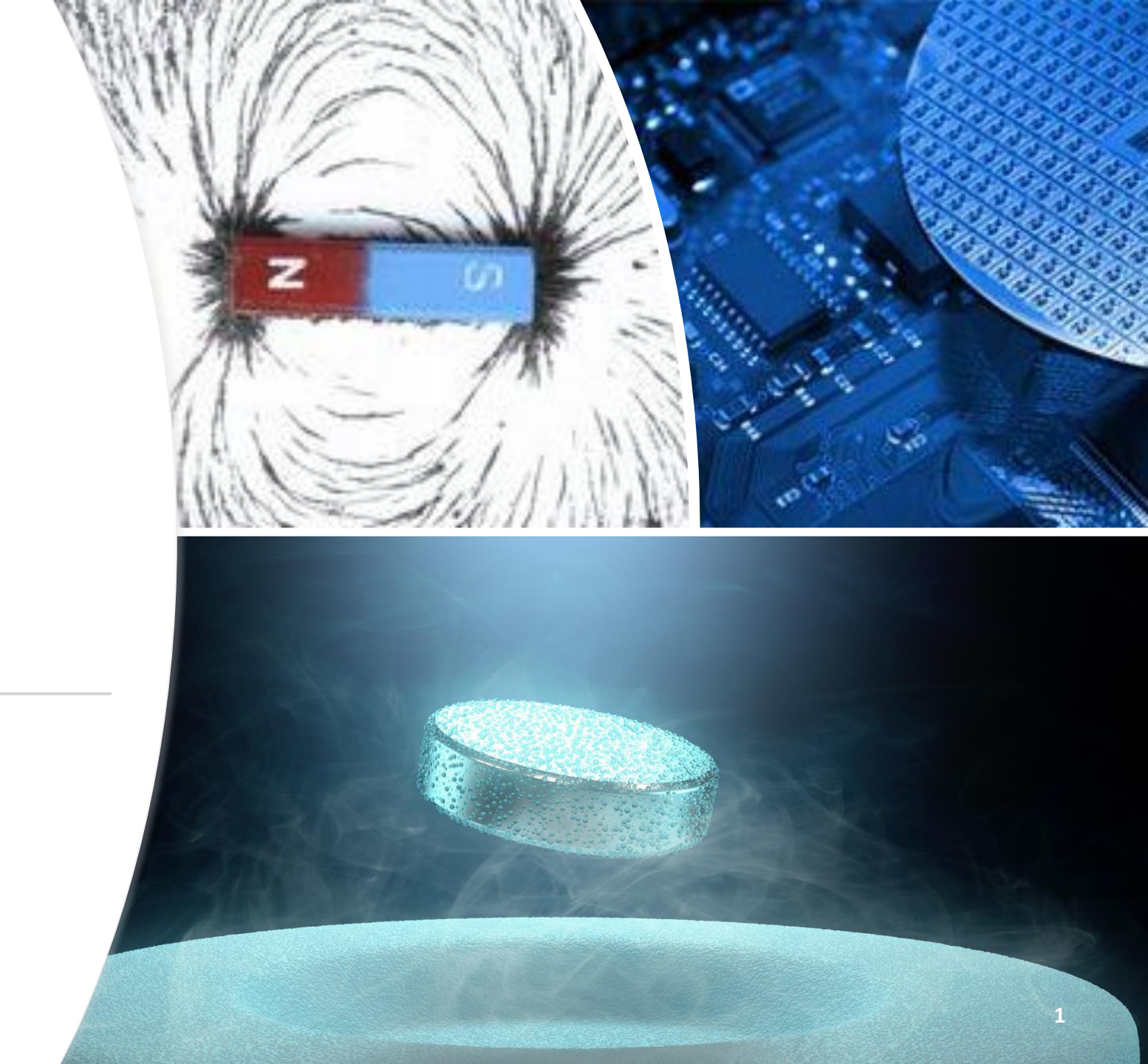
Moderne Experimentalphysik III

Experimentelle Festkörperphysik

M-PHYS-106295, SoSe 2024



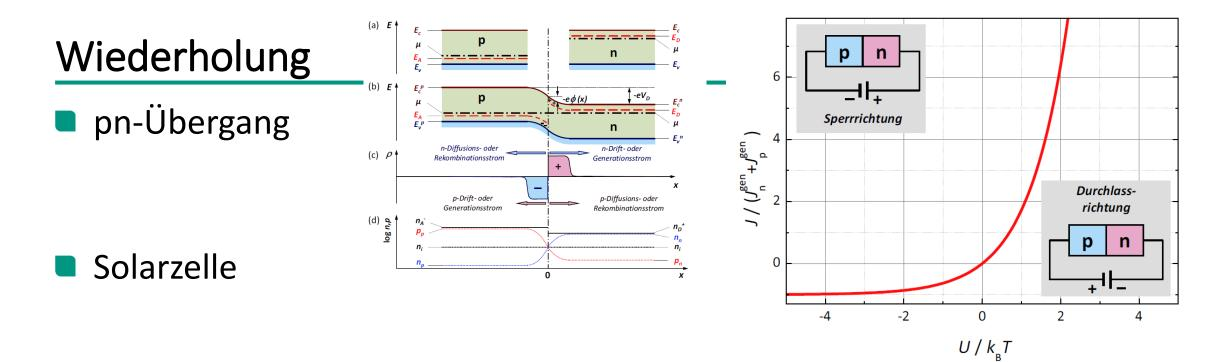
Letzte Vorlesung

Anmeldung für die Prüfung!!

Ab ca. 12:00 Uhr:

Wiederholung / Labortours

- Halbleiter-Spin Qubits (AG Wernsdorfer)
- SQUID lab (AG Wernsdorfer / AG Pop)
- Rastertunnelmikroskopie-Labor, Spins on Surfaces / Supraleiter (AG Willke)



Halbleiterheterostrukturen

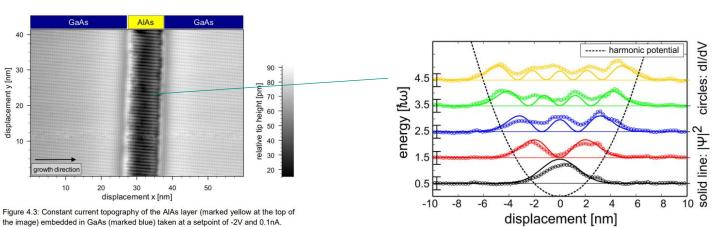
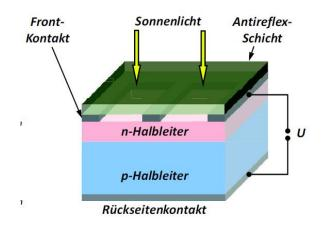
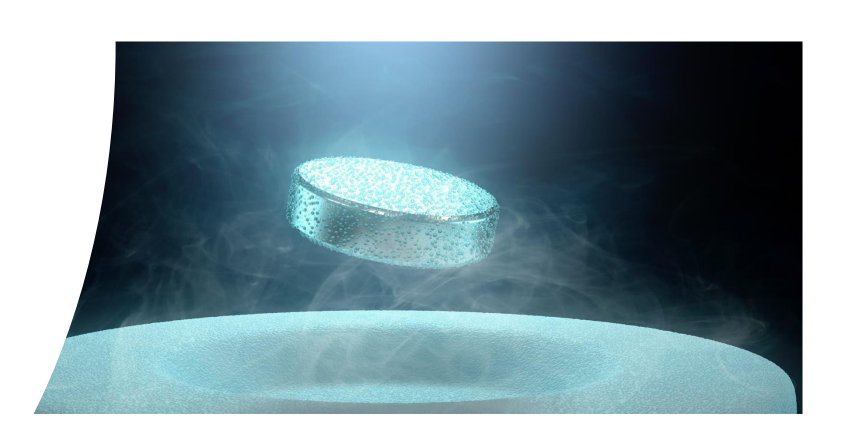
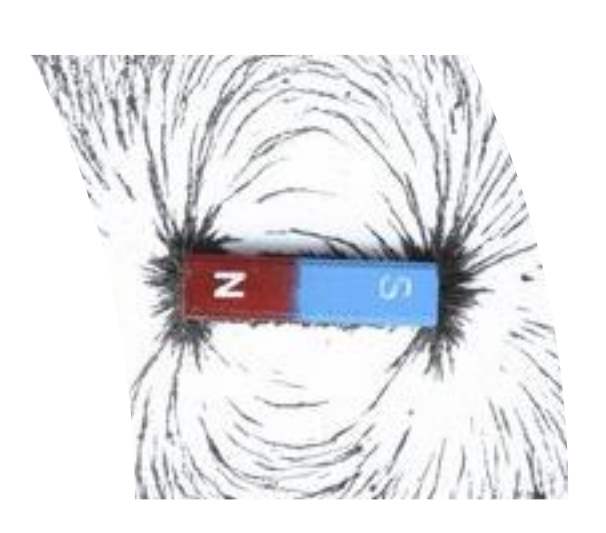


Figure 4.3: Constant current topography of the AlAs layer (marked yellow at the top of

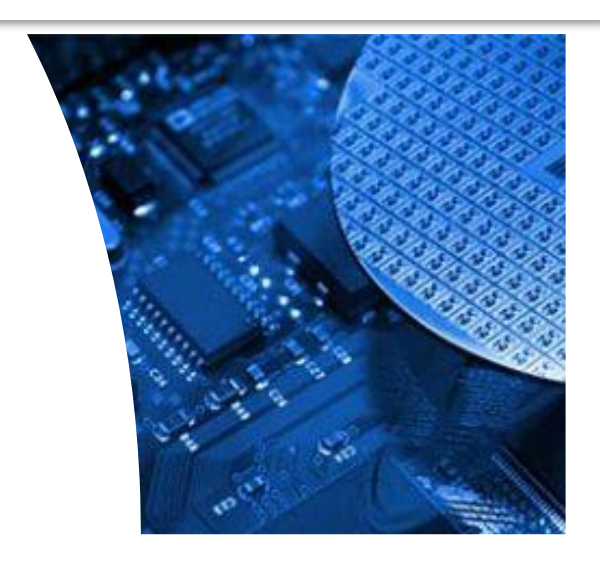


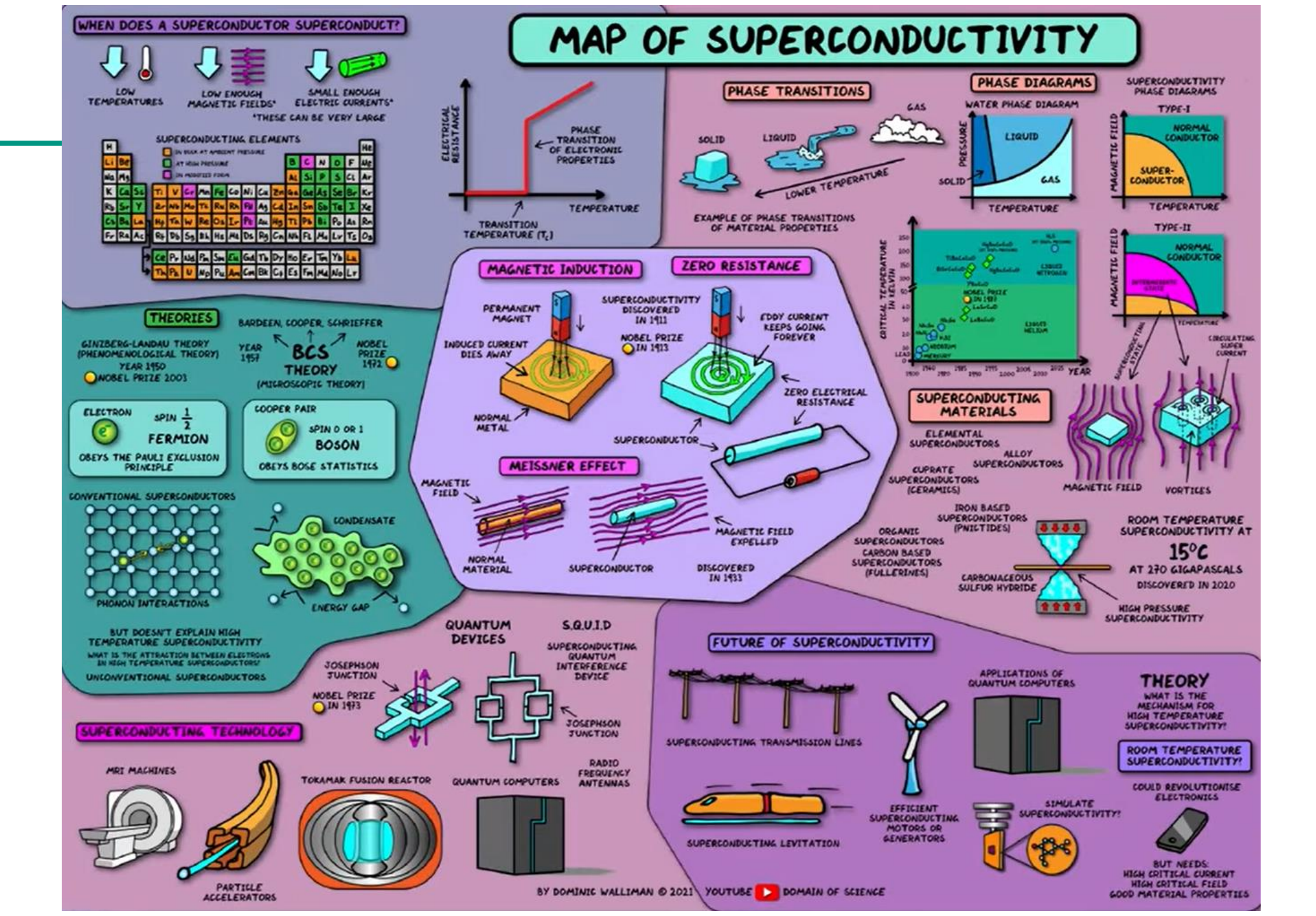




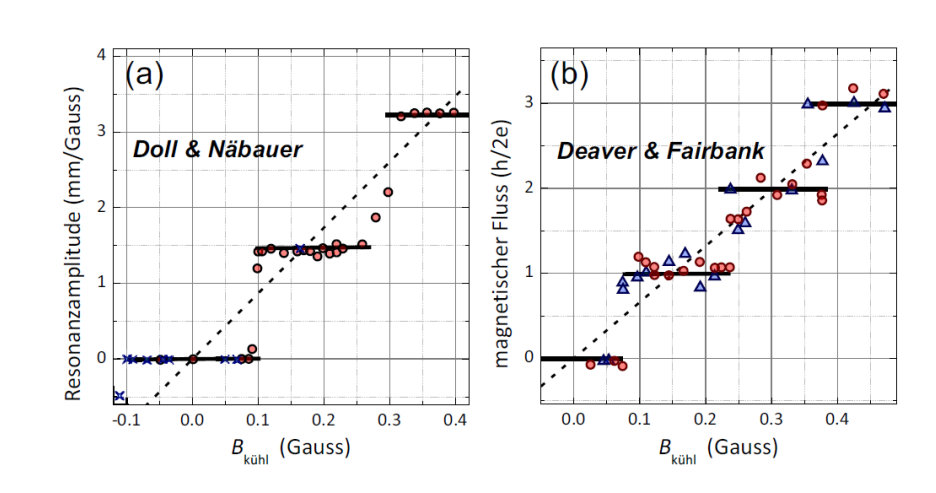
Inhalt

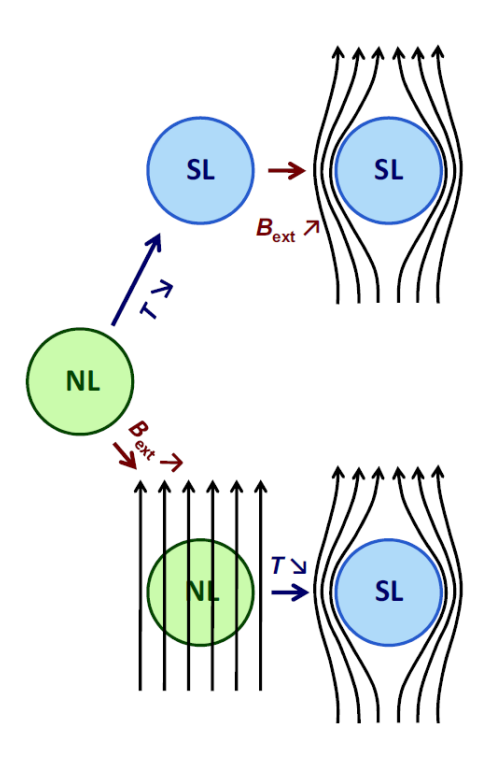
- Dielektrische Eigenschaften von Isolatoren
- Halbleiter
- p-n-Übergang
 Niedrigdimensionale Elektronensysteme
- 1D- und 2D-Elektronengas
- Quanten-Hall Effekt
- Magnetische Eigenschaften
- Magnetismus der Leitungselektronen.
- Atomarer Magnetismus
- Magnetische Wechselwirkungen
- Ferro- und Antiferromagnetismus
- Grundbegriffe der Supraleitung
- London-Gleichungen
- Cooper-Paare
- Supraleiter 1. und 2. Art
- Josephson-Effekte

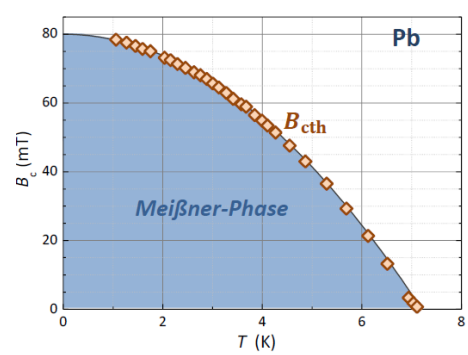


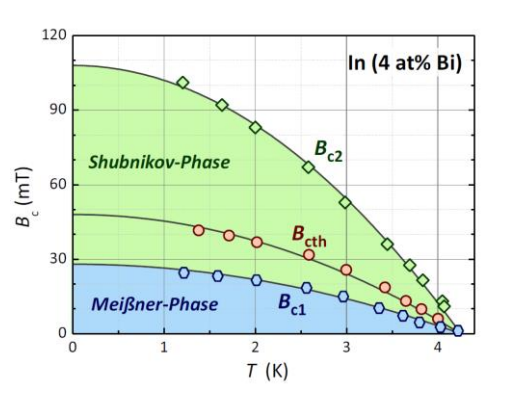


- Supraleitung führt zu widerstandslosem Stromtransport bei tiefen Temperaturen
- Supraleiter sind perfekte Diamagneten (Meissner-Effekt)
- Typ I und Typ II Supraleiter
- Flussquantisierung









London Gleichungen

1. London-Gleichung

$$\frac{m_s}{q_s^2 n_s} \frac{\partial \mathbf{J}_s}{\partial t} = \mathbf{E}$$

mit
$$\Lambda = m_s/n_s q_s^2$$
 = London-Koeffizient

→ beschreibt widerstandslosen Stromtransport

2. London-Gleichung

$$\nabla \times (\Lambda \mathbf{J}_{\scriptscriptstyle S}) + \mathbf{b} = \mathbf{0}$$

→ beschreibt *perfekte Feldverdrängung*

Makroskopische Wellenfunktion

Grundhypothese: es existiert eine makroskopische Wellenfunktion

$$\psi_s(\mathbf{r},t) = \psi_0(\mathbf{r},t) e^{i\theta(\mathbf{r},t)}$$

$$|\psi(\mathbf{r},t)|^2 = \psi^*(\mathbf{r},t) \psi(\mathbf{r},t) = n_s(\mathbf{r},t)$$



Strom-Phasen-Beziehung

$$\mathbf{J}_{S}(\mathbf{r},t) = \frac{q_{S}n_{S}(\mathbf{r},t)\hbar}{m_{S}} \left\{ \nabla \theta(\mathbf{r},t) - \frac{q_{S}}{\hbar} \mathbf{A}(\mathbf{r},t) \right\}$$





Energie-Phasen-Beziehung

$$\hbar \frac{\partial \theta(\mathbf{r}, t)}{\partial t} = -\left\{ \frac{1}{2n_s} \Lambda J_s^2(\mathbf{r}, t) + q_s \phi_{\text{el}}(\mathbf{r}, t) + \mu(\mathbf{r}, t) \right\}$$

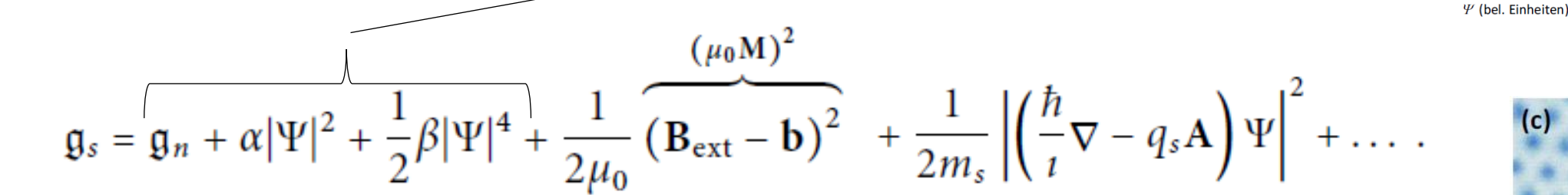


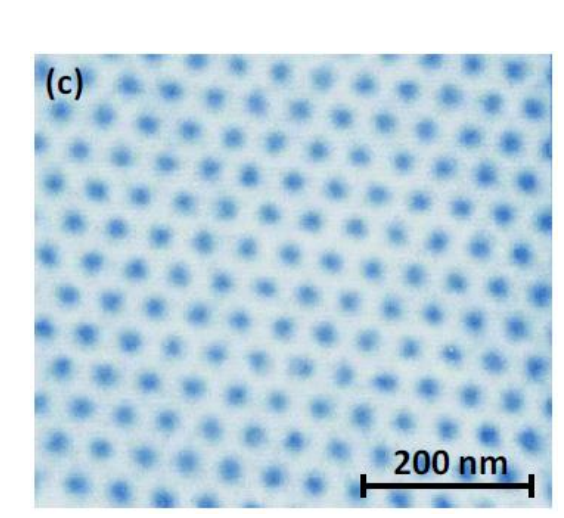
Gesamtenergie

Landau-Theorie der Phasenübergänge

Wiederholung

Ginzburg-Landau Theorie





 $B_{cth}^2/2\mu_0$

Ψ (bel. Einheiten)

1. Ginzburg-Landau Gleichung

$$0 = \frac{1}{2m_s} \left(\frac{\hbar}{i} \nabla - q_s \mathbf{A} \right)^2 \Psi + \alpha \Psi + \beta |\Psi|^2 \Psi$$

Ginzburg-Landau Kohärenzlänge

$$\xi_{\rm GL} = \sqrt{-\frac{\hbar^2}{2m_s\alpha}}$$

2. Ginzburg-Landau Gleichung

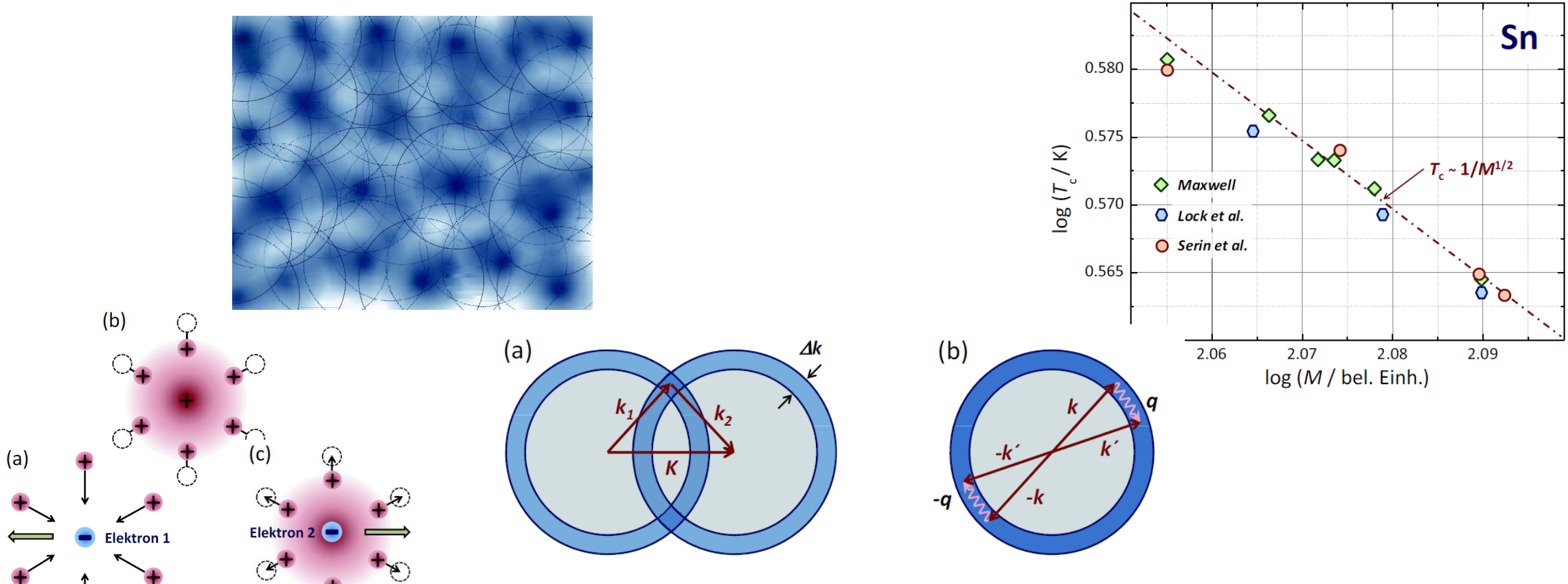
$$\mathbf{J}_{s} = \frac{q_{s}\hbar}{2m_{s}} \frac{1}{i} (\Psi^{*}\nabla\Psi - \Psi\nabla\Psi^{*}) - \frac{q_{s}^{2}}{m_{s}} |\Psi|^{2} \mathbf{A}$$

$$\kappa \le \frac{1}{\sqrt{2}}$$
 Typ-I Supraleiter

$$\kappa \geq \frac{1}{\sqrt{2}}$$

Typ-II Supraleiter

Mikroskopische Theorie

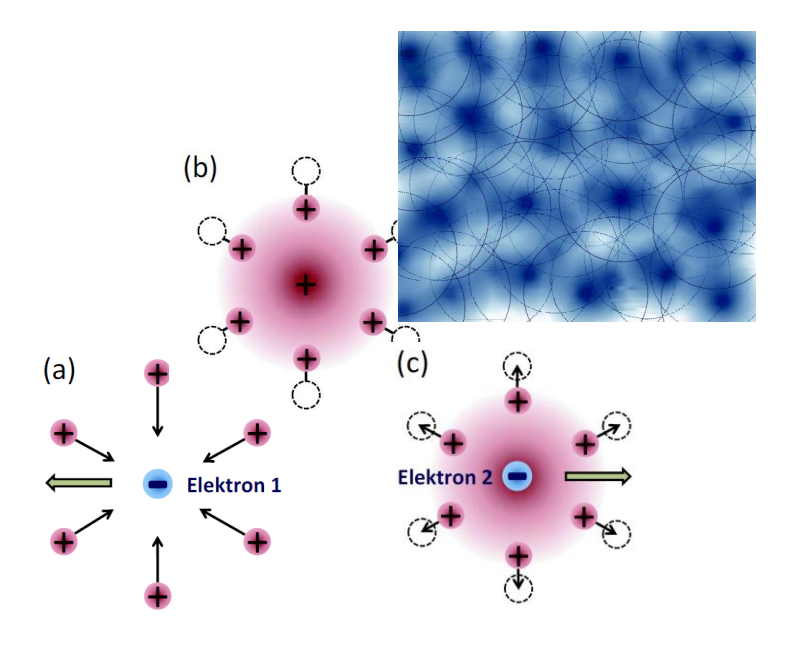


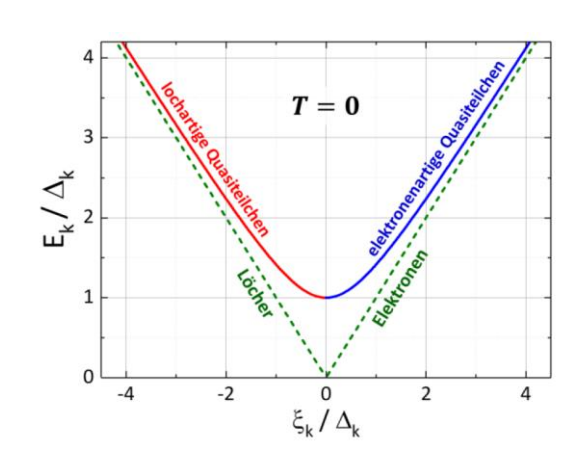
Ansatz für Paarwellenfunktion: Produkt von ebenen Wellen

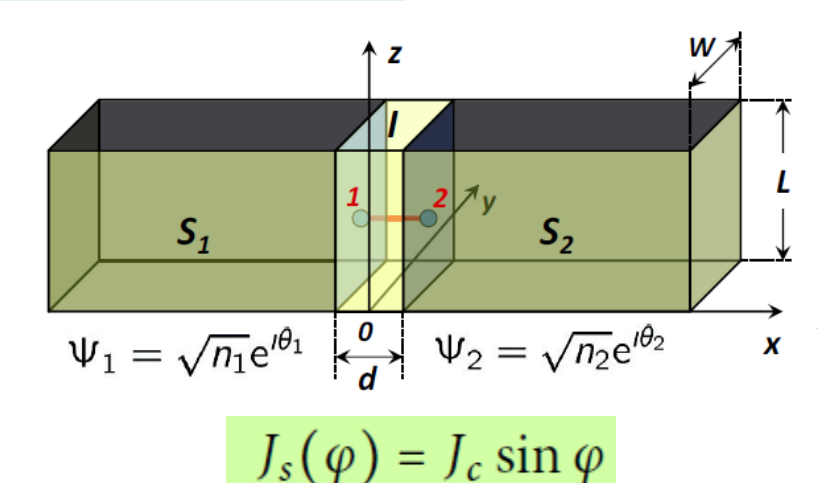
$$\Psi(\mathbf{r}_1, \mathbf{r}_2) = a \exp(i\mathbf{k}_1 \cdot \mathbf{r}_1) \exp(i\mathbf{k}_2 \cdot \mathbf{r}_2) = a \exp(i\mathbf{k} \cdot \mathbf{r})$$

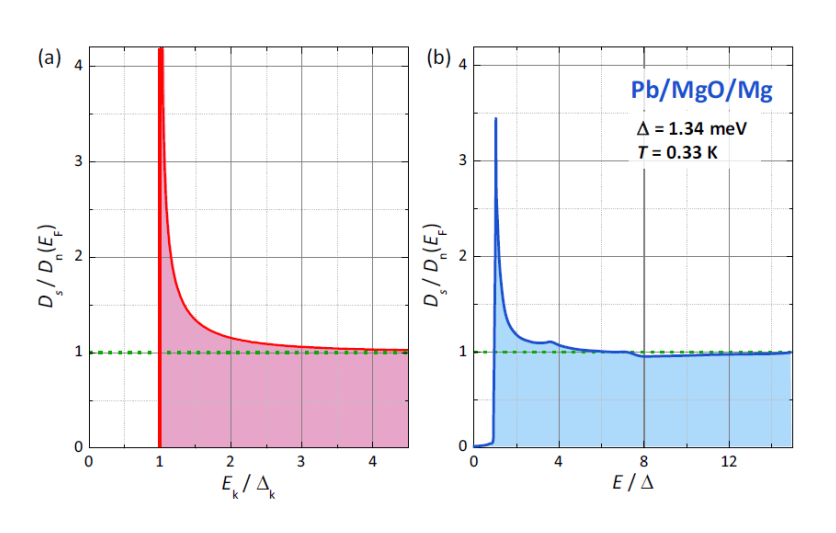
Zusammenfassung

- Mikroskopische Theorie der Supraleitung
- Cooper Paare
- Grundlagen der BCS Theorie
- Energie-Lücke und Quasi-Teilchenanregung
- Josephson Effekt









- Atome im magnetischen Feld
- Hund'sche Regeln

- Berechnung der Energieänderungen ΔE_n der atomaren Energien in Störungstheorie 2. Ordnung:

$$\Delta \mathcal{H} = \frac{\mu_{\rm B}}{\hbar} (L_z + g_s S_z) B_z + \frac{e^2 B_z^2}{8m} \sum_i (x_i^2 + y_i^2)$$

$$\Delta E_n = \langle n | \Delta \mathcal{H} | n \rangle + \sum_{n \neq n'} \frac{|\langle n | \Delta \mathcal{H} | n' \rangle|^2}{E_n - E_{n'}}$$

$$\Delta E_n = \frac{\mu_B B_z}{\hbar} \langle n | L_z + g_s S_z | n \rangle$$

$$+ \frac{\mu_B^2 B_z^2}{\hbar^2} \sum_{n \neq n'} \frac{|\langle n | L_z + g_s S_z | n' \rangle|^2}{E_n - E_{n'}}$$

$$+ \frac{e^2 B_z^2}{8m} \langle n | \sum_i (x_i^2 + y_i^2) | n \rangle$$

$$\Delta E_n = \langle n | \Delta \mathcal{H} | n \rangle + \sum_{n \neq n'} \frac{|\langle n | \Delta \mathcal{H} | n' \rangle|^2}{E_n - E_{n'}}$$

Langevin-Paramagnetismus

Van Vleck-Paramagnetismus

Larmor-Diamagnetismus

2. Ordn

Maximierung von S:

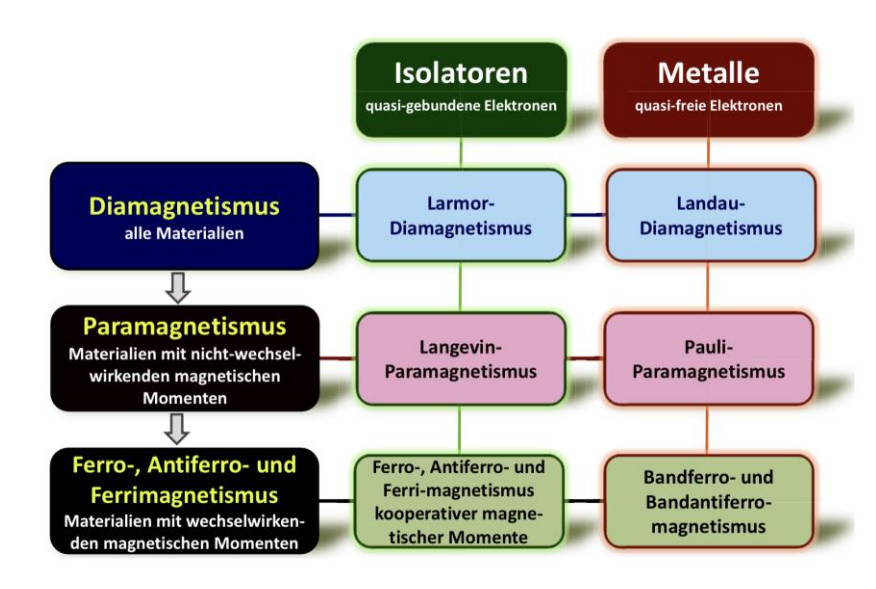
Minimierung der Coulomb-Abstoßung: folg gleichem Ort sein

II. Maximierung von L.

Reduktion der Coulomb-Energie durch gle bei halber Füllung liegt L = 0 vor (wegen

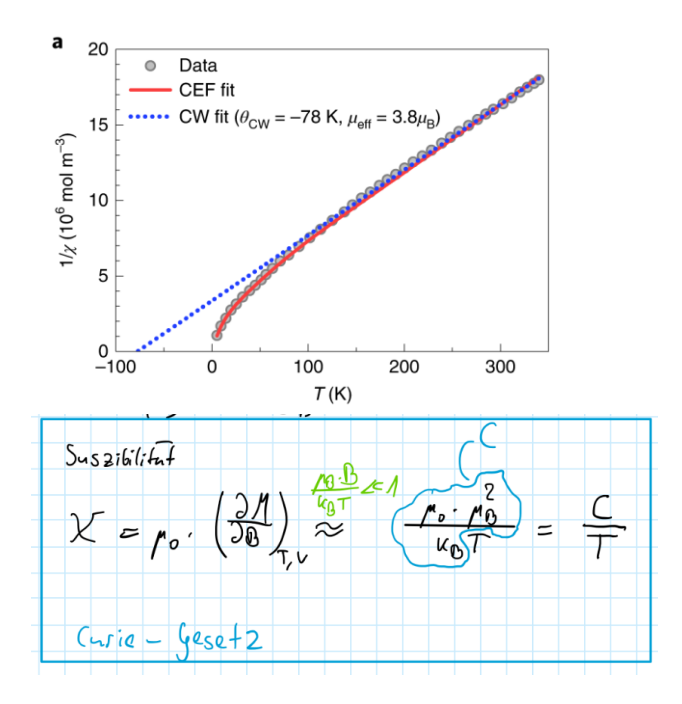
III. Kopplung von L und S zu J:

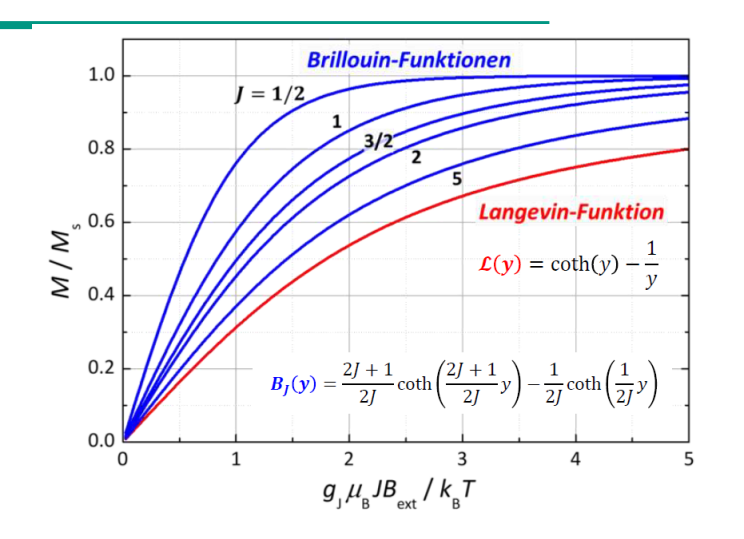
Minimierung der Spin-Bahn-WW:



Magnetisierungskurven, Brillouin-Funktion

Curie-Gesetz

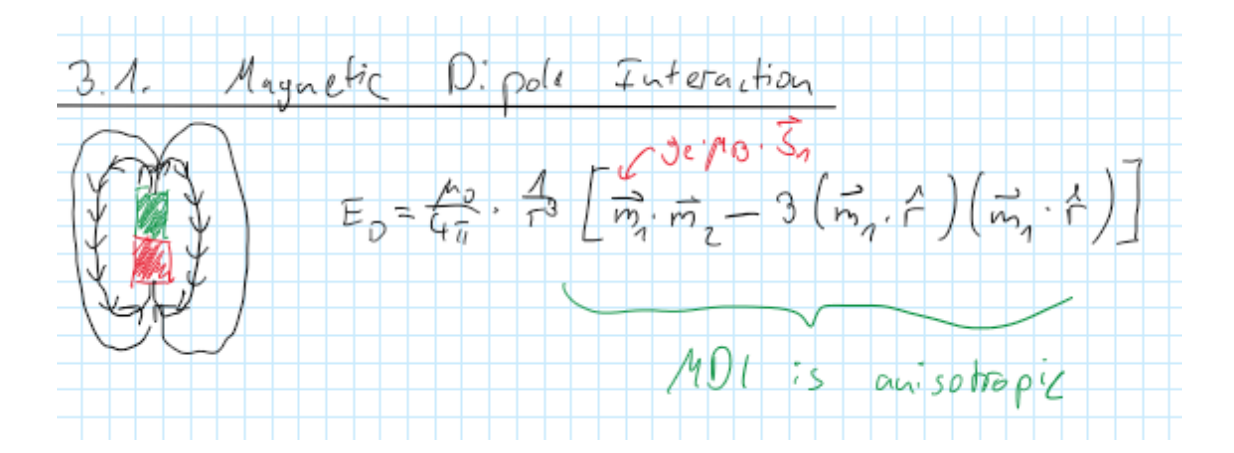




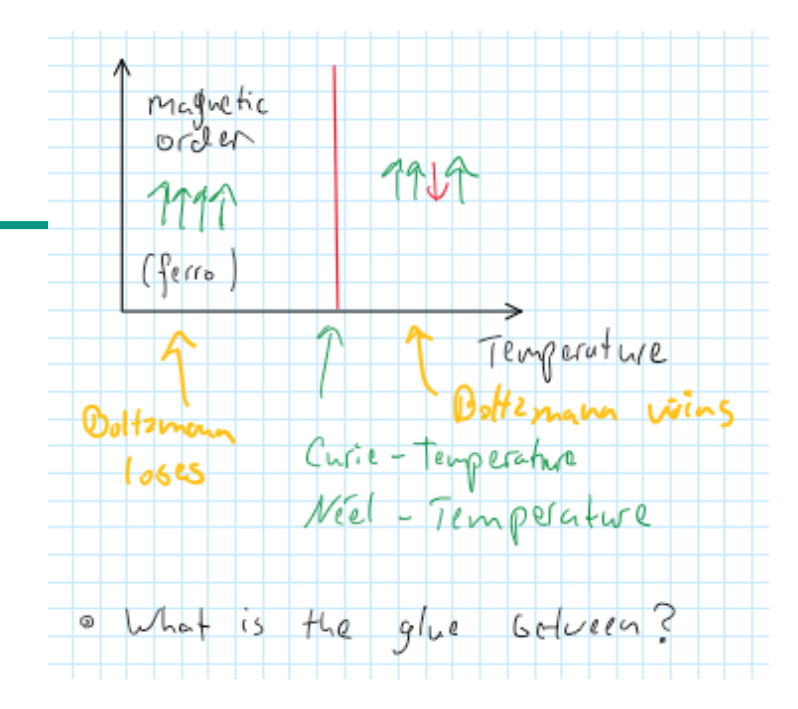
Pauli-Paramagnetismus

Magnetische Ordnung

Magnetische Dipol-Wechselwirkung



Austausch-Wechselwirkung



$$E^{s}(R) = 2E_{1s} + \frac{V + A}{1 + S_{AB}^{2}}$$
$$E^{a}(R) = 2E_{1s} + \frac{V - A}{1 - S_{AB}^{2}}$$

- Landau Diamagnetismus
- Austauschwechselwirkung

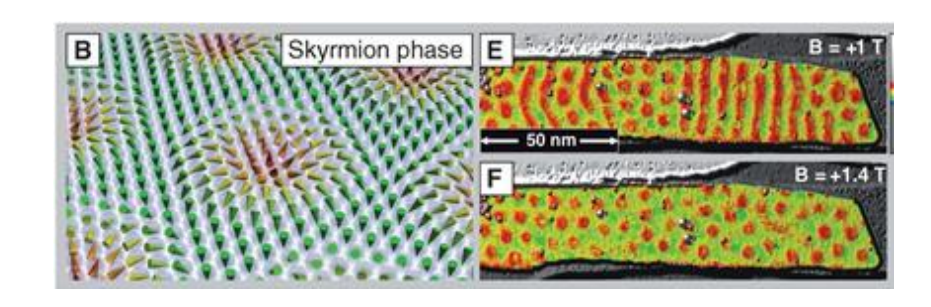
für freies Elektronengas (ohne Beweis)

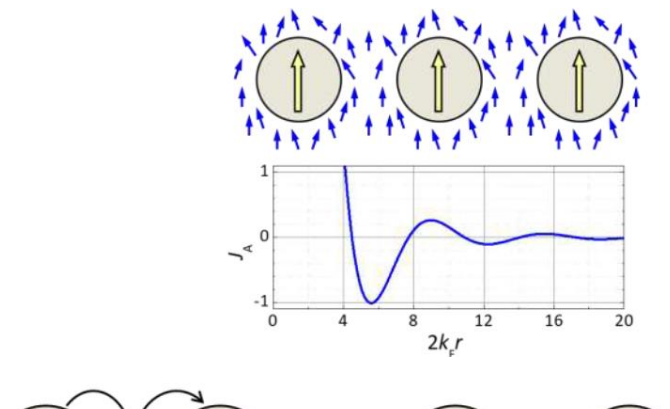
$$\chi_{\rm L} = -\frac{1}{3} \chi_{\rm P}, \qquad \chi = \chi_{L} + \chi_{P} = \frac{n \mu_{0} \mu_{\rm B}^{2}}{k_{\rm B} T_{\rm F}}$$

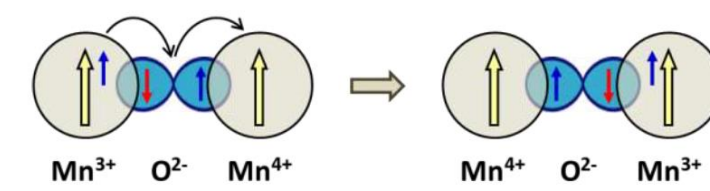
$$\chi_{\rm L} = -\frac{1}{3} \chi_{\rm P} \left(\frac{m}{m^*}\right)^2$$

- Verschiedene Arten der Austauschwechselwirkung
- Stoner Kriterium

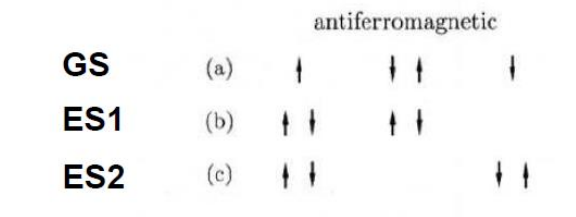
$$\mathcal{H}_{\mathrm{DM}} = \mathbf{D}_{ij} \cdot \left(\mathbf{S}_i \times \mathbf{S}_j \right)$$

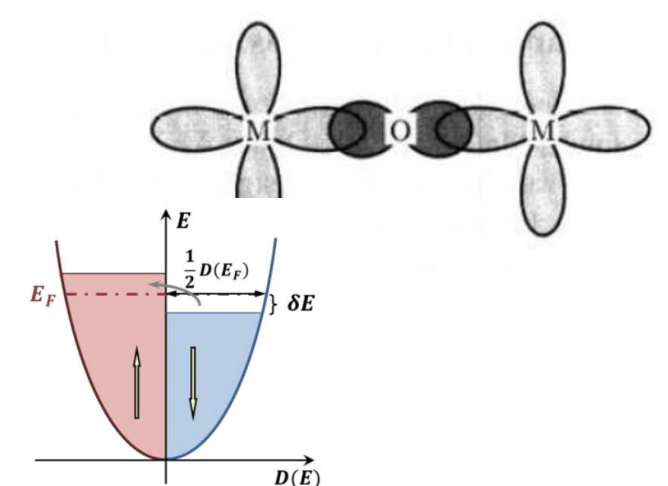






Super Exchange





Austauschloch

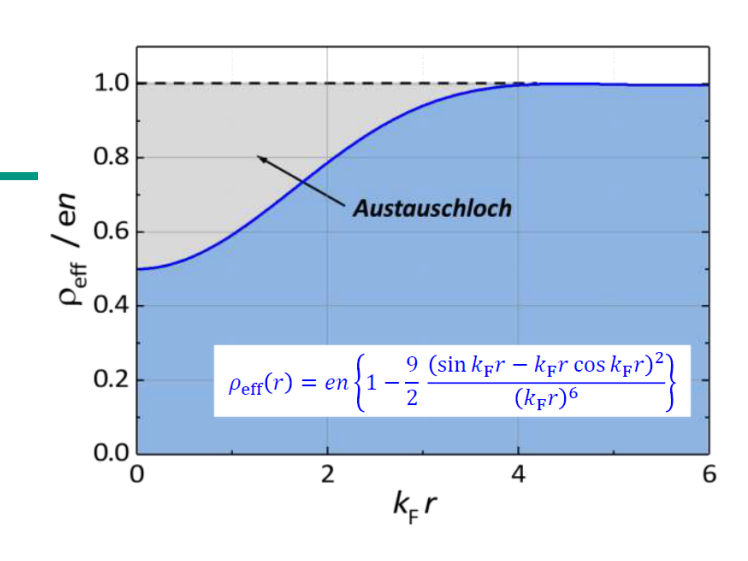
Curie-Weiss Gesetz

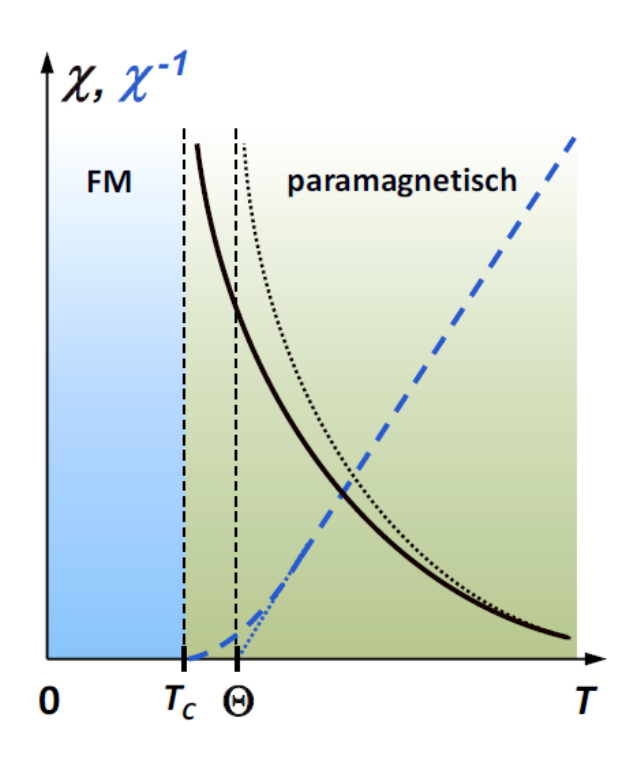
$$\chi = \mu_0 \left(\frac{\partial M}{\partial B_{\rm ext}} \right)_{T,V} = \frac{C}{T - T_C}$$

$$C = \frac{n \,\mu_0 g_J^2 J(J+1) \mu_{\rm B}^2}{3k_B}$$

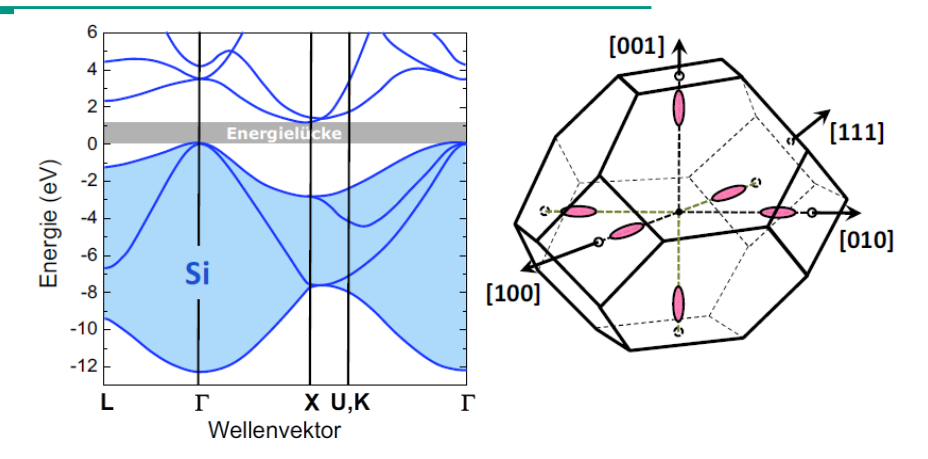
$$C = \frac{n \,\mu_0 g_J^2 J(J+1) \mu_{\rm B}^2}{3k_B} \qquad T_C = \gamma \,\, \frac{n \,\mu_0 g_J^2 J(J+1) \mu_{\rm B}^2}{3k_B} = \gamma \,\, C$$

Ferromagnetismus





Eigenschaften von Halbleitern



Leitungsband und Valenzband

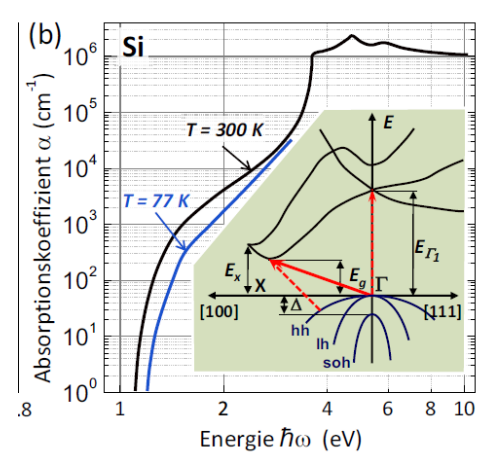
$$E(\mathbf{k}) = E_{c} + \frac{\hbar^{2}}{2} \sum_{ij} k_{i} \left(\frac{1}{m^{*}}\right)_{ij} k_{j} \qquad \text{(Elektronen)}$$

$$E(\mathbf{k}) = E_{\rm v} + \frac{\hbar^2}{2} \sum_{ij} k_i \left(\frac{1}{m^*}\right)_{ij} k_j$$
 (Löcher).

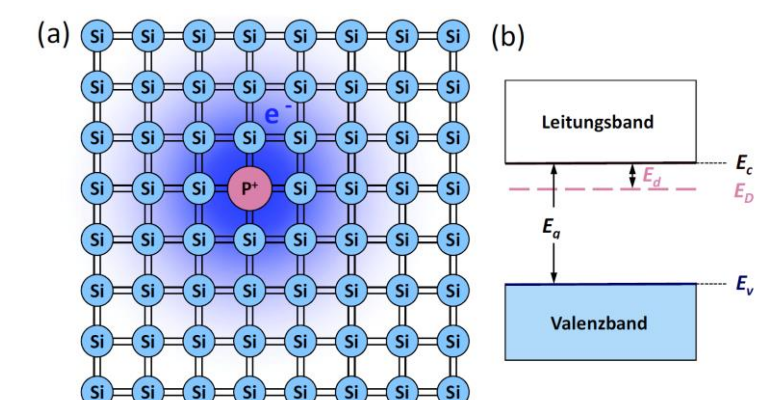
Ladungsträgerdichte von intrinsischen Halbleitern

$$\mu = E_{\rm v} + \frac{1}{2}E_{\rm g} + \frac{3}{4}k_{\rm B}T\ln\frac{m_{\rm h,DOS}^*}{m_{\rm e,DOS}^*}.$$

$$\mu = E_{\rm v} + \frac{1}{2}E_{\rm g} + \frac{3}{4}k_{\rm B}T \ln \frac{m_{\rm h,DOS}^*}{m_{\rm e,DOS}^*} \,. \qquad n_i = \sqrt{n_c \cdot p_v} = \sqrt{n_c^{\rm eff}p_v^{\rm eff}} \ {\rm e}^{-E_g/2k_{\rm B}T}$$



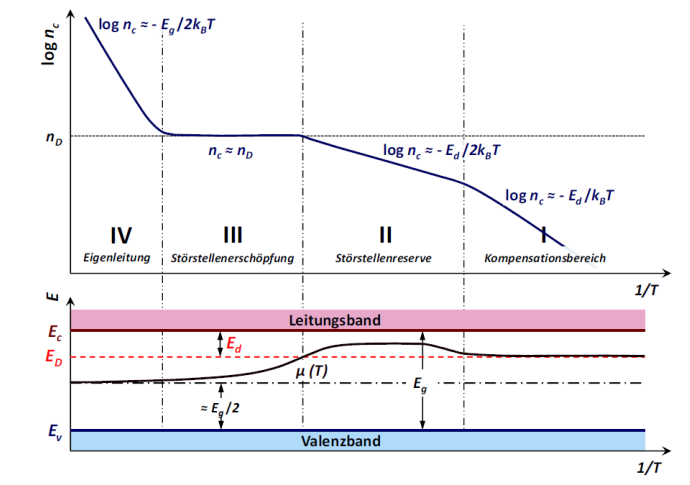
Eigenschaften von dotierten Halbleitern



Wasserstoffmodel der Dotieratome

$$r_d = \frac{4\pi\epsilon\epsilon_0\hbar^2}{m_e^*e^2}$$

Temperaturabhängigkeit



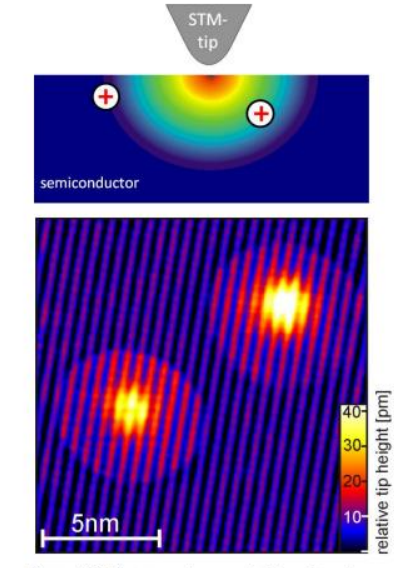
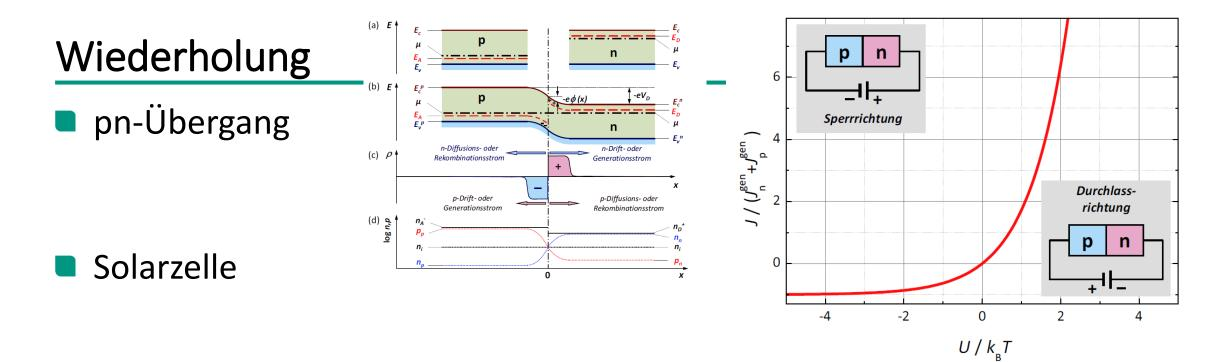


Figure I.2: The upper image sketches two donors in GaAs and the STM tip. The colored area indicates the space charge region. The lower image shows a constant current topography of two donors. The charge switching is visible by the disk-shape of enhanced topographic height.



Halbleiterheterostrukturen

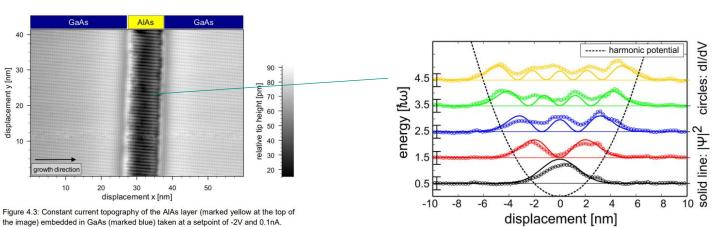
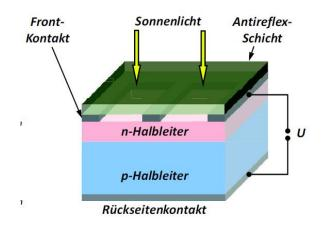
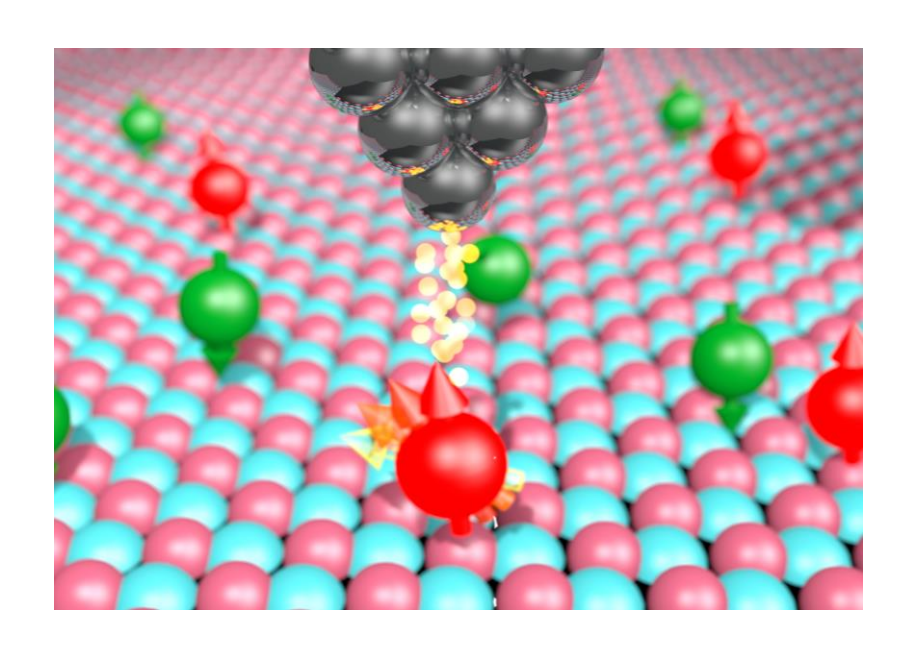


Figure 4.3: Constant current topography of the AlAs layer (marked yellow at the top of



Werbung

Vorlesungen im nächsten Semester:



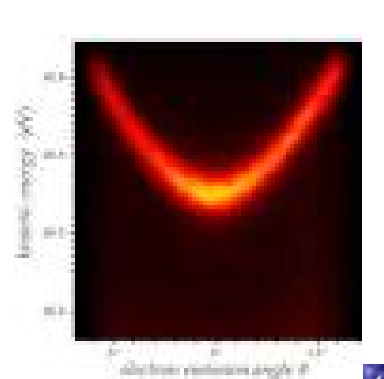
4021011 **Electronic Properties of Solids I** • Präsenz

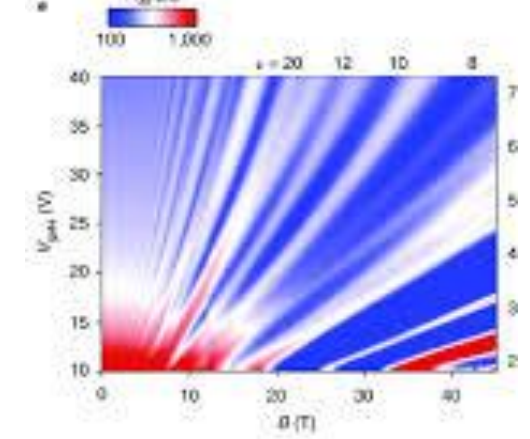
4 SWS Englisch

Di 09:45-11:15 30.22 Physik-Hörsaal Nr. 4 (Kl. HS B) vom 22.10. bis 11.02. Fr 09:45-11:15 30.22 Physik-Hörsaal Nr. 4 (Kl. HS B) vom 25.10. bis 14.02.

Vorlesung (V)

Le Tacon, Matthieu Willke, Philip





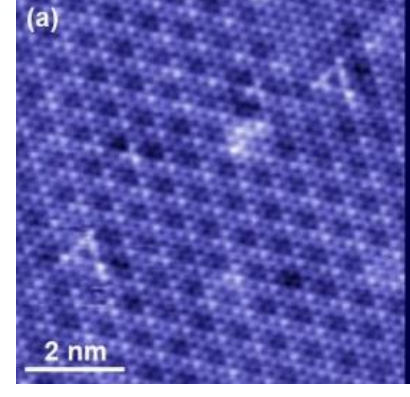
4013134 2 SWS

Advanced Seminar: Quantum Science at the Atomic Scale: Advanced Scanning Probe Hauptseminar (HS) Techniques

• Präsenz

Do 14:00-15:30 30.23 Raum 3/1 vom 24.10. bis 13.02.

Willke, Philip Wernsdorfer, Wolfgang Wulfhekel, Wulf



Laborführungen

Daniel (Semiconductor+Spins)

Appu (SC + Spins)

Wantong / Máté Spins + STM

